



DX-MB 2334 – 28. Dezember 2022

DX Mitteilungsblatt

DARC-Referat DX

Editor: Andreas Salder, DK5ON

(E-Mail: dxmb@darcdxhf.de)

(<https://www.darc.de/der-club/referate/dx/>)



Wöchentlich erscheinende DX-Mitteilungen des DARC – Referates DX

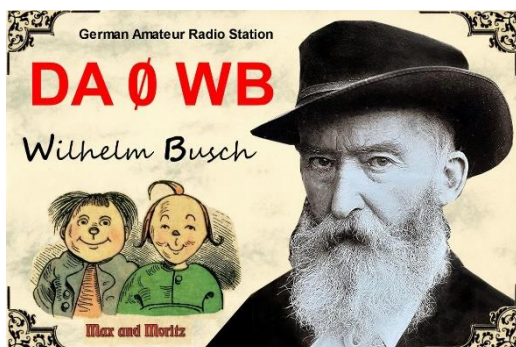


*Das DX-MB wünscht Dir eine tolle
Silvesterparty und einen guten
Rutsch ins Neue Jahr!*

DX-Aktivitäten

DL, GERMANY:

Wilhelm Busch wurde am 14. April 1865 in dem Dorf Wiedensahl, Kreis Schaumburg, geboren. Der Ort liegt ca. 40 km westlich von Hannover. Nicht weit von seinem Geburtshaus entfernt lebte er viele Jahre im heutigen "Museum im Alten Pfarrhaus". Wilhelm Busch war einer der einflussreichsten humoristischen Dichter und Zeichner in Deutschland. Sein bekanntestes Kinderbuch "Max und Moritz" wurde in über 200 Sprachen übersetzt und ist in der ganzen Welt bekannt. Der Ortsverband Steinhuder Meer des Deutschen Amateur-Radio-Clubs (DARC) hat zum 150. Geburtstag von Max und Moritz das DR150MM-Rufzeichen aktiviert und wird die Aktivität nun mit dem Sonderrufzeichen **DA0WB** weiterführen.



HC, ECUADOR:

John/N9EAJ plant vom 29. Dezember bis zum 22. Januar aus Otavalo in Ecuador aktiv zu sein. Er hofft, dass seine **HC1FIT** Lizenz verlängert wird und er sein altes Rufzeichen weiter nutzen kann. John wird hauptsächlich in SSB mit etwas CW von 40m bis 10m in der Luft sein. QSL via N9EAJ (d/B)

HH, HAITI:

Der Radio Club d'Haiti, wurde am 29. März 1948 gegründet und wird bald seinen fünfundsiebzigsten Geburtstag feiern. Zu dieser Feierlichkeit wird das Sonderrufzeichen **HH75RCH** ab dem 1. Januar 2023 bis zum 01. Mai 2023 auf allen Bändern unter dem Sonderrufzeichen in der Luft sein. QSL via N200. Logs unter:

<https://clublog.org/logsearch/HH75RCH>



I, ITALY:

"MARCONI WAS HERE!" ist ein internationaler Amateurfunkpreis, der vom A.R.I. Fidenza Radio Club (www.arifidenza.it) organisiert wird, der der A.R.I., Associazione Radioamatori Italiani (Italienischer Funkamateurverband), angegliedert ist, unter der Schirmherrschaft, der historischen Beratung und der Aufsicht des Marconi-Museum (Guglielmo Marconi Stiftung) Das Hauptziel dieses Preises ist es, an einige der wichtigsten und bedeutendsten italienischen Städte zu erinnern, in denen der italienische Wissenschaftler und Erfinder viele



DX-MB vom 28. Dezember 2022, Nummer 2334

Die deutsche Text-Version finden Sie auf unserer Homepage:

<https://www.darc.de/der-club/referate/dx/dxmb/>



seiner wissenschaftlichen Experimente auf dem Gebiet der Funktechnik, der Langstrecken-Funkkommunikation und der Funkpeilung durchführte, Experimente, die sich in der Folgezeit als entscheidend für den technischen und wissenschaftlichen Fortschritt und den Fortschritt der gesamten Menschheit erwiesen.

Der Preis wird für das gesamte Sonnenjahr 2023 verliehen.

Jeder Monat ist einer bestimmten italienischen Stadt gewidmet, die mit der Geschichte von Guglielmo Marconi verbunden ist, und ist mit einem anderen speziellen Rufzeichen verknüpft:

Im Januar: **II4TRN**; TURIN:
Luft-Boden-Funkkommunikationsexperimente (1915)

Im Februar: **II4STL**; SESTRI LEVANTE (GE):
Demonstration der blinden Navigation mit Hilfe von Funkbaken (1934)

Im März: **II4ANC**; ANCONA:
Funkkommunikationsversuche mit der Station Poldhu (Cornwall) (1904)

Im April: **II4BRI**; BARI:
Einweihung der ersten italienischen funktelegrafischen Station mit kommerziellen Zwecken (1904)

Im Mai: **II4GNV**; GENUA:
Einschaltung des Beleuchtungssystems in Sidney mit Hilfe eines Funkfeuers (1930)

Im Juni: **II4SSM**; SASSO MARCONI (BO):
In Villa Griffone, erster drahtloser Kontakt der Geschichte (1895)

Im Juli: **II4SPZ**; LA SPEZIA:
Experimente mit der italienischen Kriegsmarine (1897)

Im August: **II4GAR**; GOLFO ARANCI (SS):
Kurzwellenkontakt mit Rocca di Papa (Rom) (1932)

Im September: **II4CGD**; CASTEL GANDOLFO (ROME):
Einweihung des Mikrowellen-Vollduplex-Systems mit dem Vatikan (1933)

Im Oktober: **II4SML**; S. MARGHERITA LIGURE (GE):
Mikrowellen-RTX-Experimente (1931)

Im November: **II4CLT**; COLTANO (PI):

Einweihung der ersten italienischen interkontinentalen Radiostation (1911)

Im Dezember: **II4CDV**; CITTA' DEL VATICANO:
Einweihung der vatikanischen Radiostation (1931)

QSL Informationen der einzelnen Rufzeichen in www.qrz.com

Zu dieser Aktivität gibt es ein Kurzzeit Diplom „MARCONI WAS HERE“. Mehr Informationen in der Rubrik **Kurzzeit Diplome auf Kurzwelle** dieser Ausgabe.

LX, LUXEMBOURG:

Vom 19.12.22 bis zum 08.01.23 ist **LX4HNY** in der Luft. QSL via LX1JH



TR, GABON:

Roland/F8EN wird vom 29.12.-15.3.23 aus Libreville nur in CW auf 30-10m unter dem Rufzeichen **TR8CR** wieder QRV sein. QSL via F6AJA. Sein Log befindet sich auf <http://LesNouvellesDX.fr/voirlogs.php>.

Insel – Aktivitäten



Zusammengestellt von Andreas, DK5ON
(E-Mail: dk5on@darcd.de)

IOTA-Vorzugsfrequenzen

CW: 28040 24920 21040 18098 14040 10114
7030 3530 kHz

SSB: 28560 28460 24950 21260 18128 14260
7055 3760 kHz

AF-008; FT*4, CROZET ISLANDS:

Es ist geschafft und die Expedition nach Crozet ist mit den ersten QSO's in FT8 unter dem Rufzeichen **FT8WW** QRV. Sie bleiben auf der Insel bis März 2023 und sind auf allen Kurzwellen Bändern und Modes in der Luft. QSL via LoTW, via F6EXV (B), OQRS oder direkt an Paul Granger, 1 bis le Pin, 33690 Cours-Les-Bains, France



AF-005; D4, LEEWARD ISLANDS:

Harald/DF2WO ist ab dem 3. bis 21. Januar 2023 wieder unter dem Rufzeichen **D44TWO** von den Kap Verden QRV. Er ist von 160m bis 6m und Satellit QO-100 in SSB, CW und FT4/8 QRV. QSL über M0OXO.



AS-015; 9M2, PINANG STATE group:

Rich/PA0RRS wird vom 1. Januar bis zum 29. März 2023 wieder unter dem Rufzeichen **9M2MRS** von Penang Island in Westmalaysia QRV sein. Er wird die meiste Zeit in CW (kein

Split!) und digital (RTTY, FT8 und FT4) von 40 bis 10m in der Luft sein. In FT8 wird er, wenn zu viele Stationen anrufen in den F/H-Modus auf 7056, 10131, 14084, 18095, 21084, 24911 und 28091 kHz wechseln. QSL über Club Log, LoTW, oder PA0RRS (d/B)



NA-016; ZF, CAYMAN ISLANDS:

Im DX Holiday style nach zwei Jahren zu Hause ist Edmondo/VA3ITA vom 29. Dezember 2022 bis zum 5. Januar 2023 von Grand Cayman Island unter **ZF2IT** mit einem Yaesu FT857D, einer Vertikalantenne und einem Dipol mit 100W auf 10m bis 40m in SSB und Digital Modes ein interessanter QSO Partner. QSL nur über LoTW



NA-103; VP2M, MONTSEERRAT:

Thaire/W2APF ist vom 2. Januar bis zum 31. Januar 2023 auf der Insel Montserrat und unter **VP2MDX** QRV. Er hat einen Elecraft KX2 und KX3 mit einer KXPA100 im Gepäck. Antennen sind ein BuddiPole Hexbeam und eine Deltaloop. QSL via LoTW oder W2APF (d/B)



OC-005; VK9, NORFOLK ISLAND:

Marcelo/ZL1MTO wird im Rahmen seines Urlaubs auf Norfolk Island vom 29.12. bis zum 5.1.23 in SSB, FT4/8 auf 20m, 15m und 10m unter dem Rufzeichen **VK9MTO** QRV sein. QSL via H/c (direkt mit \$5 PayPal), LoTW oder OQRS



SA-006; PJ4; BONAIRE ISLAND:

Heli/DD0VR und Bigi/DE3BWR werden unter dem Rufzeichen **PJ4/DD0VR** vom 1. bis 13. Januar 2023 von Bonaire QRV sein. Heli sendet mit 10 Watt in SSB und 5 Watt in CW auf den HF-Bändern. QSL via DD0VR (d/B)

POTA-Aktivitäten



Parallel zu dem WWFF-Programm gibt es auch ein „Parks On The Air® (POTA)“ Programm. Dieses beinhaltet auch Referenzen der Parks und ein Diplomprogramm. Mehr Informationen auf der Homepage <https://parksontheair.com/>

HS-0060, Lan Sang National Park

Rong/**E23IBS** plant vom 30.12. 1200 UTC bis zum 31.12. 1001 UTC auf den Bändern 40m, 20m, 15m und 10m in FT8 QRV zu sein. QSL via E23IBS (d/B), eQSL oder LoTW

K-6958, Thurmond Chatham State Game Land

Joel/**K1JSJ** ist am 31.12. von 1700 UTC bis 1900 UTC auf 20m während eines Jagdausfluges in QRV QRV. QSL via K1JSJ (d/B)

K-0648, Santa Monica Mountains National Recreation Area

Eine Gruppe von Funkern aus Südkalifornien, die den Spitznamen "Leo" tragen und ihre Funkgeräte in der freien Natur und auf Berggipfeln für Summits on the Air (SOTA) und Parks on the Air (POTA) aufstellen sind unter dem Rufzeichen **WA6LE** auf folgenden Frequenzen: 10-cw 14-ssb 14-cw 7-ssb 7-cw 18-ssb vom 31.12. 2259 UTC bis zum 01.01.23 0200 UTC QRV. Sie sind auf SOTA W6/SC-311 und in APRS unter folgenden Rufzeichen zu tracken: WA6LE-9 & WA6LE-7. QSL nur direkt.

K-3017, Guadalupe River State Park

Paul/**K5CIP** ist am 01.01.23 von 1430 UTC bis 1759 UTC auf den Bändern 20m, 40m, 15m und 10m in der Luft. QSL via K5CIP (d) oder QRZ

K-1139, Chino Hills State Park

Am 02.01.23 ist Ed/**W6KSR** im Chino Hills State Park zelten und plant Abends und Morgens auf 10m, 15m, 17m, 20m, 30m, 40m in CW und RTTY in der Luft zu sein. QSL via LoTW, (d) oder eQSL auf Anfrage.

"MARCONI WAS HERE!" DIPLOM

ALLGEMEINE REGELN

ZIEL

So viele QSOs wie möglich mit den oben aufgeführten Gedenkstationen (s.o. unter DX-Aktivitäten) zu machen.

"JOKER" STATION

Zusätzlich zu den aufgelisteten monatlichen Sonderrufzeichen (s.o. unter DX-Aktivitäten) wird während des gesamten Jahres 2023 auch die "Joker-Station" **IQ4FE** auf Sendung sein. Die Kontakte mit dieser Station ermöglichen die Wiederherstellung von maximal zwei nicht kontaktierten monatlichen Rufzeichen nach der folgenden Regel:

- Um 1 monatliches Sonderrufzeichen zu erhalten, sind mindestens 3 QSOs mit IQ4FE während des Jahres erforderlich;
- Um 2 monatliche Sonderrufzeichen wiederzuerlangen, sind mindestens 6 QSOs mit IQ4FE während des Jahres erforderlich;

ZEITRAUM

Von 00.01 UTC des 1. Januar 2023 bis 23.59 UTC des 31. Dezember 2023

TEILNEHMER

Der Preis ist weltweit ausgeschrieben und steht allen lizenzierten Funkamateuren auf der ganzen Welt offen.

MODES

CW, SSB und alle zugelassenen digitalen Betriebsarten, z.B.: RTTY, FT8, JT65, JT9, PSK.

BÄNDER

1) HF (einschließlich WARC-Bänder): 1,8, 3,5, 5, 7, 10, 14, 18, 21, 24, 28, 50 MHz

2) VHF (144 MHz)

3) UHF (430 MHz)

4) Satellitenband OSCAR 100, unter Verwendung aller für dieses Band zugelassenen Sendebetriebsarten und in Übereinstimmung mit dem entsprechenden Band Plan.

Zu den zugelassenen digitalen OSCAR 100-Betriebsarten gehören sowohl Schmalband-Betriebsarten als auch Breitband-DATV über Transponder.

LOG

Es ist nur der RS(T)-Bericht erforderlich.

BESCHRÄNKUNGEN UND DUPE QSOs

Jede Gedenkstation sowie die "Jolly-Station" **IQ4FE** können von derselben Station (Rufzeichen) nur ein Mal pro Tag auf demselben Band und in derselben Sendart kontaktiert werden. Jeder weitere Kontakt mit der gleichen Station am gleichen Tag, auf dem gleichen Band und in der gleichen Sendart wird als DUPE-QSO gewertet und mit 0 Punkten gewertet.

PUNKTZAHL FÜR EIN EINZELNES QSO

Jedes gültige (d.h. kein Dupe) QSO zählt:

1 Punkt für NON QRP-Stationen

(Sendeleistung > 5 W)

2 Punkte für QRP-Stationen

(Sendeleistung ≤ 5 W)

ENDPUNKTZAHL AM JAHRESENDE

Die Endpunktzahl ist die Summe aller im Laufe des Jahres erzielten QSO-Punktzahlen.

LOG

Die teilnehmenden Stationen müssen kein Logbuch einsenden.

Die Logs der besonderen Gedenkstationen werden monatlich auf der offiziellen Website www.arifidenza.it veröffentlicht.

In der Regel wird jedes monatliche Log bis zum 10. des Folgemonats hochgeladen.

TEILNAHMEKATEGORIEN UND AUSZEICHNUNG DES RANKINGS

Es gibt nur eine Teilnahmekategorie: Die Rangliste wird nach der absoluten Punktzahl erstellt.

AUSZEICHNUNGSZERTIFIKATE

Ein Teilnahmezertifikat wird an jede Station vergeben, die mindestens einmal jedes der zwölf Sonderrufzeichen des Awards kontaktiert hat.

Eine Sonderurkunde (Gold, Silber, Bronze) wird an den ersten, zweiten bzw. dritten Teilnehmer mit der besten Punktzahl auf der Grundlage der Jahresgesamtpunktzahl vergeben.

Alle Urkunden werden auf www.arifidenza.it zum Download zur Verfügung gestellt.

Auf dieser Website wird auch die endgültige Rangfolge der Auszeichnungen veröffentlicht.

INFOS UND REFERENZ-WEBSITE

Die offizielle Referenz-Website für alle Informationen im Zusammenhang mit diesem Preis ist: www.arifidenza.it

VERANTWORTLICHKEIT FÜR DIE JURY

Das A.R.I. Fidenza Award Komitee ist verantwortlich für jede Bewertung oder Entscheidung über Aspekte im Zusammenhang mit dem Award, einschließlich jeder Beurteilung über die Einhaltung (oder Verletzung) der in diesem Dokument genannten Regeln während der Aktivität On Air und aller damit verbundenen Rechtsstreitigkeiten.

Von allen Teilnehmern wird ein respektvolles Verhalten erwartet, das den allgemeinen Fair-Play-Grundsätzen und dem "HAM Spirit" entspricht.

Im Falle eines dokumentierten Verstoßes gegen die in diesem Dokument genannten Regeln sowie im Falle eines unfairen, unsportlichen Verhaltens ist das A.R.I. Fidenza Award Komitee befugt, angemessene Disziplinarmaßnahmen zu ergreifen, einschließlich der Kürzung von Punkten oder der Disqualifikation. Die vom A.R.I. Fidenza Award Committee getroffenen Entscheidungen sind unwiderruflich und nicht anfechtbar.

QSL MANAGER: IQ4FE (d/B)

Für direkte QSL, bitte KEINE IRC, KEINE STAMPS!

Für Italien : SASE (Selbstadressierter und frankierter Umschlag);

Für Europa: 2 US \$ + SAE (Selbstadressierter Umschlag);

Für den Pazifikraum: 4 US \$ + SAE;

Für andere Länder: 3 US \$ + SAE;

Bei unzureichenden Beiträgen wird die QSL über das Büro verschickt.



KW Conteste

Termine Januar 2023:

- | | |
|-----------|--|
| 01.01. | SARTG RTTY
0800 UTC - 1100 UTC
80m/40m
RTTY |
| 01.01. | AGCW-DL HNY Contest
80m - 20m
CW |
| 07/08.01. | ARRL RTTY Roudup
1800 UTC - 2395 UTC
80m - 10-m
RTTY |
| 07/08.01. | Original QRP Contest
1500 UTC - 1500 UTC
80m - 10-m
CW/SSB |
| 07/08.01. | EUCW 160m Contest
2000 UTC - 0700 UTC
160m
CW |
| 08.01. | DARC 10m Contest
0900 UTC - 1059 UTC
10m |
| 14.01. | YB DX Contest
0000 UTC - 2359 UTC
80m - 10m
SSB |
| 15.01. | VFDB DLPX Contest
1300 UTC - 1559 UTC
80m - 10m
CW/SSB |
| 21/22. | HA DX Contest
1200 UTC - 1200 UTC
160m - 10m |
| 27/29. | CQWW 160m Contest CW
2200 UTC - 2200 UTC
160m
CW |
| 28/29. | REF Contest CW
0600 UTC - 0600 UTC
80m - 10m
CW |

28/29. BARTG RTTY Sprint
1200 UTC - 1200 UTC
80m - 10m
RTTY

28/29. UBA DX Contest SSB
1300 UTC - 1300 UTC
80m - 10m
SSB

Die Ausschreibungen finden Sie ebenfalls auf <http://www.darc.de/der-club/referate/conteste/> sowie mittels der Contest Termin-Tabelle in der CQ DL 01/2023 auf Seite 64.

-	C91CCY	2322
03.01.23	- 21.01.23 D44TWO	2334*
	DA0WB	2334*
01.01.	- 31.12. DB5ØAFZ	2283
01.01.	- 31.12. DF4ØBGK	2283
20.02.	- 19.02.23 DKØHN	2285
01.10.	- 31.12. DK0SY	2322
01.01.	- 31.12. DKØ5ØBN	2283
01.01.	- 31.12. DK65DEL	2285
01.01.	- 31.12. DLØHO	2284
26.01.	- 25.01.23 DLØOF	2288
07.05.	- 06.05.23 DL1640Y	2312
01.01.	- 31.12. DL6ØLINDAU	2283
01.01.	- 31.12. DL7ØWOB	2283
01.01.	- 31.12. DL73AFUG	2283
01.01.	- 31.12. DL75DRG	2283
01.01.	- 31.12. DL75HIL	2282
01.01.	- 31.12. DL75HES	2291
01.01.	- 31.12. DL75OBY	2285
01.01.	- 31.12. DL75RLP	2288
01.01.	- 31.12. DP44N44T	2284
	- 31.12. DR100RY	2320
01.10.	- 30.09.23 DR45HAAN	2330
01.01.	- 31.12. DR5ØBAWA	2305
01.12.	- 31.12. EH6FPM	2331
01.01.	- 31.12. EI9ØIRTS	2282
	- EX0ET	2332

Kalender			
von	bis	DX	DX-MB
01.07.	-	3A/F6EXV	2308
01.07.	-	3A/PB8DX	2308
20.01.	-	3B8HH	2285
	-	3C3CA	2322
25.03.	-	3X1A	2303
	-	3Z30PAR	2332
12.12.	- 31.12.	4U1XMAS	2333
08.22	-	5H2JK	2313
23.11.	-	5H3SE	2329
	-	5H5PJ	2332
21.09.	- 31.12.	5H8HZ	2330
18.04.	-	5P0WARD	2297
17.06.	-	5R8BM	2308
16.11.	-	5V7JA	2328
01.12.	-	5W0RS	2330
01.05.	-	5X7W	2301
01.01.	- 31.12.	6F6F	2284
16.06.	-	6O1OO	2307
22.12.	- 20.01.23	6W1/WA3DX	2333
22.12.	- 20.01.23	6W6/WA3DX	2333
22.12.	- 20.01.23	6W9/WA3DX	2333
27.11.	- 11.01.23	6Y5/W8YCM	2330
01.12.	- 11.01.23	6Y8LV	2331
06.22	-	7P8AB	2306
06.22	-	7P8NB	2306
	- 31.03.23	8J1H90T	2330
22.05.	-	9G5XA	2304
	- 06/22	9J2MYT	2279
01.10.	-	9J2SEU	2322
11/21	-	9N7AA	2306
25.04.	-	9N7CI	2300
25.04.	-	9N7WE	2300
15.11.	- 31.12.	9M100SK	2329
01.01.23	- 29.03.23	9M2MRS	2334*
01.10.	-	A65/DL2RMC	2321
15.12.	- 12/23	AT42I	2332
15.12.	- 31.12.	AU2SOA	2333
28.11.	- 24.02.23	C5YK	2331
01.05.	-	C83YT	2301



Den RL wünsch ich schéi Feierdeeg a vill Gléck fir 2023
Le RL vous souhaite de joyeuses fêtes et une bonne année
Season Greetings from the RL and a Happy New Year

01.09.	- 01.04.24	FH4VVJ	2314
01.09.	- 01.04.24	FH4VVK	2317
15.10.	-	FJ4WEB	2324
07.22	-	FO5QS	2312
	- 31.12.22	FS/KC9FFV	2298
	- 03.23	FT4YM	2324
25.12.22	- 31.03.23	FT8WW	2334*
	- 02.24	FW1JG	2287
26.12.	- 08.01.23	FY/F4GPK	2333
01.01.	- 31.12.	GB1ØØBBC	2282
01.01.	- 31.12.	H32AT	2290
01.01.	- 31.12.	HB5ØSH	2283
01.07.	- 31.12.	HB75SG	2308
29.12.	- 22.01.23	HC1FIT	2334*
15.03.	- 15.03.23	HG2ØØAN	2293
15.03.	- 15.03.23	HG2ØØDO	2293
15.03.	- 15.03.23	HG2ØØEF	2293
15.03.	- 15.03.23	HG2ØØIR	2293
15.03.	- 15.03.23	HG2ØØOT	2293
15.03.	- 15.03.23	HG2ØØPS	2293



01.01.23	-	01.05.23	HH75RCH	2334*	31.10.	-	V85NPV	2329
			HK3/F4AHV	2332	01.01.	-	31.12. VK9ØABC	2287
25.07.	-	15.05.23	HK3JCL	2307	29.12.	-	05.01.23 VL9MTO	2334*
23.11.	-	13.03.23	HR5/F2JD	2329		-	04/23 VK9WX	2331
06.11.	-	02.04.23	HS0ZME	2326	2.1.23	-	31.03.23 VP2MDX	2334*
01.12.	-	31.12.	II1MM	2330		-	VP5MA	2302
01.01.23	-	31.12.23	II4ANC	2334*	01.12.	-	01.23 VP8/SQ1SGB	2331
01.01.23	-	31.12.23	II4BRI	2334*		-	VP8AAE	2320
01.01.23	-	31.12.23	II4CDV	2334*	23.09.	-	12.22 VP8DLB	2324
01.01.23	-	31.12.23	II4CGD	2334*	12/22	-	01/23 VP8RAF	2332
01.01.23	-	31.12.23	II4CLT	2334*	12/22	-	01/23 VP8TAA	2332
01.01.23	-	31.12.23	II4GAR	2334*	14.05.	-	W1M	2301
01.01.23	-	31.12.23	II4GNV	2334*		-	14.01.23 WA5LFD/p	2330
01.01.23	-	31.12.23	II4SML	2334*		-	31.12. X10X	2296
01.01.23	-	31.12.23	II4SPZ	2334*	21.08.	-	XZ2A	2316
01.01.23	-	31.12.23	II4SSM	2334*	25.06.	-	XZ2B	2309
01.01.23	-	31.12.23	II4STL	2334*		-	12/25 YB8QT	2330
01.01.23	-	31.12.23	II4TRN	2334*	01.12.	-	31.12. YP8XMAS	2333
	-	06.23	J28HJ	2311	01.12.22	-	30.06.23 YR1200VT	2333
08.22	-	J28RC	2315	01.09.	-	Z6/KN4PRE	2317	
01.10.	-	J5JUA	2323	28.08.	-	ZA/DG7PX	2317	
24.12.	-	23.01.23	JD1BMH	2333	23.08.	-	ZA/Z35M	2315
14.05.	-	K4RC	2301	12/22	-	ZA15K	2333	
12/22	-	12/23	KC4AAC	2332	29.12.22	-	05.01.23 ZF2IT	2334*
01.01.	-	31.12.	LA1ØØB	2283	25.08.	-	ZL4/VE6TC	2318
19.12.22	-	08.01.23	LX4HNY	2334*	15.07.	-	ZL7/ZL1VV	2311
	-	31.12.	LZØ1MLN	2277		-	31.12. ZL75WARC	2325
01.01.	-	31.12.	LZ1GLASS	2285				
23.04.	-	OE22M	2298					
01/23	-	06/23	OE40XTU	2332				
16.12.	-	31.12.	OF9X	2333				
01.03.	-	31.12.	OR1ØØRCBE	2290				
01.01.	-	31.12.	OZ5ØDDXG	2282				
01.12.	-	31.12.	PA22XMAS	2330				
01.12.	-	31.12.	PD22SANTA	2330				
01.12.	-	31.12.	PD23HNY	2330				
01.01.	-	31.12.	PI75LIM	2287				
23.12.22	-	05.01.23	PJ2/DD0VR	2333				
01.01.	-	13.01.23	PJ4/DD0VR					
01.01.	-	31.12.	PX2Ø22BR	2282				
24.10.	-	24.03.23	RI1ANU	2324				
	-		RI41POL	2321				
01.05.	-	S035S	2301					
01.01.	-	31.12.	SK50EI	2284				
01.12.	-	31.12.	SX338M	2330				
01.07.	-	31.12.	TI1GOAL	2313				
23.12.	-	03.01.23	TI7/VE3BW	2333				
	-		TI8/F4AHV	2332				
15.01.	-	31.12.	TMØCR	2286				
10.12.	-	21.12.	TM200LP	2330				
27.12.	-	29.12.	TM200LP	2330				
26.12.	-	30.12.	TM8AB	2330				
	-		TO5Z	2328				
29.12.	-	15.03.23	TR8CR	2334*				
	-	06/23	TT8SN	2320				
	-		TZ4AM	2311				
12/22	-	03/23	V31TX	2333				
18.10.	-	V55WH	2324					
06.2022	-	V73MS	2306					

* = neu oder aktualisiert

.. = und andere Calls

QSL-Informationen

3A/F6EXV	via	F6EXV
3A/IR1DCI	via	IK1GPG (B)
3A/PB8DX	via	PB8DX
3A/DL2SBY	via	DL2SBY (d), (L)
3A3A		(L)
3A6M	via	F6EXV ((O)), (B), (L)
3B8/DK6SP	via	DK6SP (B), (L)
3B8/KX7M	via	F5CWU (B)
3B8X	via	PFØX (B), (L)
3B9/MØCFW	via	(L)
3C3CA	via	TA2OM (B), (L), (e)
3X1A	via	F1TMY QSL nur (C)
3Z3ØPAR	via	SP4KM (B), (L)
3Z7ØFI	via	SP9JPA (B)
3Z95PRK	via	SP9MRP (B)
4D3X	via	W3HNC (d), (L)
4K7DK	via	DK1DKE (B)
4L1FP	via	K6VHF (B), (L), (e)
4L8A	via	MØOXO (B-(O)), (L)
4S7RO	via	F6BFH (B), (*)
4U1A	via	UA3DX (B), (L)
4U1XMAS	via	UA3DX (B)
4W/JH2EUV	via	JH2EUV (B), (L)

4W/VK1AO	via	VK1AO (L), (e)	8N2TY	via	JARL-Bureau, (L), (e)
4X6FR	via	4X6OM	8P9NF	via	EA4NF (L)
5A1HA	via	F6BFH (B), (*)	8S0C	via	SM0MPV (B), (L)
5A1AL	via	5A1AL ((O)), (L)	8S9J	via	SM5TOG (nur (L))
5B/NP2KY	via	5B-Bureau	8Q7AG	via	IZ2DPX (B), (L)
5B4AQC	via	DK6SP (B), (L)	8Q7QE	via	EA5Q (B), (L)
5B4AMM	via	UT5UDX (L), (e)	8Q7TD	via	IK1TDD (B), (L)
5B4YOTA	via	5B4CY (d), (B)	8Z92ND	via	HZ1SAR (d)
5C4ØDN	via	CN8DN (d)	9A/DL7MDX	via	DL7MDX (B), (L)
5E5R	via	CN8YZ (L), (e)	9A/F5SNJ	via	F5SNJ (nur (L))
5H2JK	via	DL8AAI (B)	9A/W8FNG	via	W8FNG (d), (L)
5H3FM	via	HB9DSP (B), (L)	9A/S50IPA	via	S50IPA
5H3SE	via	(L)	9A/SQ9CNN	via	SP9FIH (B), (L)
5H5PJ		eQSL & LoTW	9A1WFF/p	via	9A2MF (B)
5H8HZ	via	TA1HZ (d), (L), (e)	9A2Ø22ICM	via	9A6KX (d), (L), (e)
5KØT	via	LU1FM (d), (L), (e)	9A22YOTA	via	9A1A (B), (L)
5K0YD	via	IK2DUW (d)	9A24ZRF	via	9A7ALZ (B), (L)
5N/KE5GUR	via	KE5GUR (d), (e)	9A5Y	via	9A7W (B), (L)
5P1KZX	via	OZ1KZX (B), (L), (e)	9A8GHJ/p	via	OE7GHJ (B)
5P1OT	via	SP1OT (B)	9H/IV3CTS	via	YT4RA (L), (e)
5P5Q	via	OZ9XU (B), (L), (e)	9H6LH	via	DL1KJ (B)
5P5T	via	OZ1FDH (L), (e)	9H6QE	via	9H1MRC (d)
5P6MJ	via	OZ6MJ (L), (e)	9J2SEU	via	OE3SEU (L)
5P8VW	via	DJ8VW (B), (L), (e)	9K2OW	via	EC6DX (d), (L)
5Q5CW	via	DL5CW (B), (L)	9K9KSA	via	EC6DX (d), (L)
5Q7DX	via	PA7JWC (B), (L)	9M100SK	via	9W2TXL (d)
5R8CG	via	DL2AWG (B), (L)	9M59SD	via	9W8KIF (d)
5R8FG	via	IZ6BRJ (B)	9M6NA	via	JE1JKL (B), (L)
5R8MM	via	DL2AWG (B), (L)	9N7AA	via	S57DX (d), (L)
5R8PA	via	DL2AWG (B), (L)	9V1ZV	via	EA5GL (B), (L), (e)
5R8WG	via	DL2AWG (B), (L)	9X5GG	via	F6BFH (B), (*)
5R8WP	via	DL2AWG (B), (L)	A35JP/p	via	JA0RQV (B), (L)
5R8AL	via	G3SWH (d), (L)	A43KSA	via	EC6DX (d), (L)
5WØRS	via	IT9YVO (d)	A43UAE	via	A47RS (B), (L), (e)
5X3R	via	IK2DUW	A6ØA	via	EA7FTR (d), (L)
5X4E	via	IQ3CO (B); IZ3ZLG (d)	A6ØBHR	via	EA7FTR (d)
5Z4VJ	via	MØURX (B OQRS), (L)	A60FIFA/2	via	EA7FTR
6D5C	via	XE1H (nur (L))	A65/DL2RMC	via	DL2RMC (B), (L)
6W1/WA3DX	via	WA3DX (d), (L)	A65DR	via	N4GNR (d), (L)
6Y5/4S7RO	via	F6BFH (B), (*)	A61ZX	via	IZ8CLM (B), (L), (e)
6Y5/W8YCM	via	W8YCM (d)	A62A	via	EA7FTR und (L)
6Y6ØHM	via	EA5GL (B)	A71AU	via	F6BFH (B), (*)
6Y8LV	via	W8YCM (d)	A71FIFA	via	A71A (B), (L)
7A1B	via	EA7FTR (d), (L)	A72FIFA	via	QARS-Bureau, (L)
7G1RL	via	HA3JB (d), (L)	A73FIFA	via	A71A (B), (L)
7Q5RU	via	R7AL (L)	A74FIFA	via	QARS-Bureau, (L)
7Q6M	via	K6ZO (L)	A75FIFA	via	A71A (B), (L)
7R19MG	via	(d), (e)	A76FIFA	via	QARS-Bureau, (L)
7R7A	via	7X2VFK (d)	A77FIFA	via	QARS-Bureau, (L)
7S7SOP	via	SM7RYR (nur (L))	A78FIFA	via	QARS-Bureau, (L)
7T60A	via	7X2DD (d)	A722FWC	via	A71A (B), (L), (e)
7X2GK	via	IK2DUW (d), (L)	A71XX	via	EC6DX (d), (L)
7X2VFK	via	7X2DD (d)	A91ARS	via	EC6DX (d), (L)
7Y19MG	via	(d), (e)	A91FTDMC	via	EC6DX (d), (L)
7Z1VD	via	EA5GL (B), (L)	A91ND	via	EC6DX (d), (L)
7Z92ND	via	HZ1SAR (d)	A91OMA	via	EC6DX (d), (L)
8A64BALI	via	YH9AA (d), (e)	A44A	via	A47RS (B), (L)
8J1H9ØT	via	JARL-Bureau, (L), (e)	AHØ/WA7WJR	via	WA7WJR (d), (L)
8J3S	via	JK3IJQ (B)	AH2/WA7WJR	via	WA7WJR (d), (L)

AM100RCE	via	EA4URE	D73G	via	HL4CCM (B), (L), (e)
AM23ØCW	via	EA2CW (L), (e)	DA0HQ	via	DL5AXX
AM30FEDIEA	via	EA3RKF (d), (e)	DA0RR	via	DJ5BWD
AM33ØHLM	via	EA3HLM (nur L & (e)	DAØT	via	DL7AT (B), (L)
AM33ØRKM	via	EA3RKM (L), (e)	DA22LGS	via	DL7ACN (B)
AM38SDC	via	EA1AUM (B), (L), (e)	DA2W	via	ON3UN (B)
AM4ØRCH	via	EA3RCH (B), (L), (e)	DFØCOC	via	DL4PY (B)
AM5ØØPCM	via	EA7URF (B), (L), (e)	DFØSAX	via	DL3DXX (B), (L)
AM630VQ	via	EA6VQ (B), (L)	DK05ØBN	via	DK5PD (B), (L), (e)
AO12ØDRI	via	EA7AMB (B), (e)	DK0AJ	via	DH4FE
AP2KN	via	F6BFH (B), (*)	DK0DFF	via	DL7AFS (B)
AP2TN	via	N4BAA (World), RW6HS (Russia, d), (L)	DK0DI	via	DH7ZP (B)
			DK0GYB	via	DK2AJ (B), (e)
AP75HA	via	AP2HA (L)	DK0SM	via	DL6OCH
AP75HAS	via	VU2SMS (d)	DK5T/LH	via	DK5ON (d), (B), (L)
AP75SD	via	EA5ZD (B: nur Mail), (e)	DL0AGU	via	DL1RNT (B)
AU2JCB	via	VU2DSI (d), (e)	DL0AH	via	DG5YHE
AU75JRO	via	VU2JRO (d), (L), (e)	DL0GEO	via	DL2YAK (B), (L), (e)
AU75SMS	via	VU2SMS (d), (L)	DL0JBB	via	DL6YAO (B), (e)
AP75TN	via	RW6HS (d)	DL0NOT	via	DL1ZAV (B)
AZ1D	via	LU1DX	DL164ØY	via	DL3CQ (B), (e)
BP0A	via	BV2KS	DL2ØSOTA/p	via	DL6GCA
BW/DJ4JB	via	DJ4JB (B)	DL6ØLINDAU	via	DL1CBQ (B)
BX0QSL	via	BM2JCC, (e)	DL/HB9BIN/p	via	HB9BIN (B), (L)
C37N	via	C37URA (B), (L)	DL/HB9CBR/p	via	HB9CBR (nur LoTW)
C6ADX	via	W8GEX (L)	DMØY	via	DL3BQA (B)
C6AGU	via	HA7RY (L), (e)	DM20OTUS	via	DJ8NU (B)
C6AQ	via	EA5GL (B), (L), (e)	DM6ØUEA	via	DL3BUA (B, autom.)
C6AYL	via	W8CAA (L)	DP0POL	via	DL5EBE (B)
C7A	via	UA3DX (B)	DP5N	via	DJ0ACA
C91CCY	via	K3IRV (B)	DQ8FTDMC	via	DM2RM
CB3W	via	XQ4CW	DR0W	via	DJ5MW
CB4A	via	CE4UFC	DR1ØØRY	via	DF2SD (B), (L), (e)
CN22JIM	via	RW6HS (d)	DR3K	via	DG1YKW (B)
CN23NIL	via	RW6HS (d)	DR4A	via	DJ9KM (B), (L)
CN23NOA	via	CN8NOA	DR45HAAN	via	DO9MP (B), (O)
CO7VI	via	IK2DUW (d) und (L)	DU1/P5G5V	via	PG5V (d), (B), (L)
CQ3J	via	CT3MD and (L)	DU3/W6QT	via	W6QT (B), (L), (e)
CQ9T	via	CT3KN	DU7/N7ET	via	N7ET (B), (L)
CR2X	via	OH2BH (B)	DV8/KH7EA	via	SP3SUX (B)
CR3SI	via	CT1DSV (B)	DX8H		(d)
CR3Y	via	OM2FY	E2WRTC	via	E21EIC (B), (L)
CR6K	via	CT1ILT (O), (d), (L)	E7/9A3DF	via	9A3DF
CS2C	via	OK1RF	E7HQ	via	E70ARA, (L)
CT9ABO	via	OM3GI (d), (L)	E77DX	via	E73Y (B), (L)
CT9ABV	via	DL5AXX, (L)	EA3ATO	via	EA3RCI (B), (e)
CW3A	via	EA5GL (d), (L)	EA5/DJ2TG/p	via	DJ2TG (B), (L), eQSL
CW5X	via	CX2ABC (d)	EA7/WH6GVB	via	EA7KN
CX1ØØB	via	CX1AA (B), (L)	EA8/DL2GRF	via	DL2GRF (eQSL)
CX3AT	via	EA5GL (B), (L), (e)	EA9KB	via	EA7FTR
CX5A	via	CX2ABC (B), (L), (e)	ED1R	via	EC1KR (B), (L), (e)
D2TX	via	PA3CMC (L)	ED2C	via	EA2RCF (B)
D44BM	via	IW2KVT (B)	ED2FSF	via	EA2CYC (E-Mail)
D44PM	via	IZ4DPV (d), (B), (L)	ED5HFD	via	EA5HFD (B)
D44TWO	via	MØOXO (B – OQRS), (L)	ED7O	via	EA7EU (d)
D4L	via	IK2NCJ (B), (L)	EE44C	via	EC5WR (d), (L), (e)
D4Z	via	IK2NCJ (B)	EF0F	via	EA4URE (B), (L)
D6ØAE	via	F5GSJ (B), (L)	EF1A	via	EA1X (B), (L)
			EF6T	via	EA3AIR

EH3HNY	via	EB3JT nur (L) & eQSL	HF95PRK	via	SP9KJU
EH5FPM	via	EA5JDN and (L)	HG0IDPD	via	HA5MA (d), OQRS (C); keine QSL benötigt
EI/DJ1WI	via	DJ1WI	HGØWFF	via	HAØHW (B-(O)), (L)
EXØET	via	DU7ET (d)	HG1Z	via	HA1XY (B)
FG/F6HMQ	via	F6HMQ (B)	HG1222BA	via	HA4KYB
FH/OK1M	via	OK1WMR	HG4I	via	HA5LN
FK8GX	via	F5MFV (d)	HG5A	via	HA5KDQ (B), (L), (e)
FM5BH	via	W3HMK (d), (L)	HH18NOV	via	N2OO (B)
FY5KE	via	FY1FL (d), (L)	HH2AA	via	EB7DX (L), (d)
G3M	via	G4PEO (B)	HI8J	via	RW6HS (d), (L)
G5XV	via	MØOXO ((O)), (L)	HI9/IK2KTE	via	IK2KTE
G8T	via	GW4SHF (B)	HL77V	via	6KØMF (B)
G8X	via	G4FJK (d), (L)	HLØ9NWPF	via	HL5BJU (B), (L), (e)
GBØNFL	via	MØLMK (nur (e))	HP1/EA5XV	via	EA5XV (B)
GB13COL	via	GØVLF (d)	HR9/K6VHF	via	K6VHF (B), (L), (e)
GB1CSR	via	MØOLT (B), (e)	HQ9X	via	KQ1F (B), (L)
GB2HMM	via	GW4TTA (B)	HR5/F2JD	via	F6AJA (B), (L)
GB5GYD	via	MØCQL ((e))	HS0ZJF	via	ON4AFU (d), (B)
GB5TP	via	MM0DFV	HS0ZNR	via	VK2FY (d), (L), (e)
GB6OUS	via	MØOXO (B-(O)), (L)	HS0ZOA	via	EB7DX (d), (e)
GD2NV	via	G2NV (nur (e))	HS7AP/p	via	E21IZC
GJ2A	via	MJ0ASP (d), (L)	HVØA	via	IKØFVC (d), (L)
GM2T	via	(B)	HZ1BHR	via	HZ1SAR (d)
GM4Z	via	GM4ZUK (B), (L)	HZ1CY	via	A61BK (d), (L)
GM6DX	via	MØOXO (B-(O)), (L)	HZ1CPCF	via	HZ1SAR
GQ4ATA	via	GM4ATA nur (L)	HZ1UAE	via	HZ1SAR (d)
GS5DX	via	EB7DX and (d), (L)	HZ92ND	via	HZ1SAR (d)
GS8VL	via	MØOXO ((O)), (L)	I/HB9BIN/p	via	HB9BIN (B), (L)
GUØVJG/p	via	GØVJG (B)	IC8/IK6CAC	via	IK6CAC (L), (e)
GX1FCW		nur (e)	IC8/KL1A	via	OE1ZZZ (d)
GX3WIM	via	G8MNY (L), (e)	ID9Y	via	IK8YFU (d), (L), (e)
GX5BBC	via	G4HPE (B), (e)	IF9A	via	IT9ATF (B), (L)
GX5DX	via	EB7DX (d)	IG9/IZ8FFA	via	IZ8FFA (d), (L)
GX6ZME/p	via	G3ZME (B)	II1MM	via	IK1VHX (e)
H44MS	via	DL2GAC (B), (L)	II2FTDM	via	IK2EKO
H44SHD	via	HB9SHD (B), (e)	II5RM	via	IK5WOB (B)
HA36EUDXF	via	HA5MA (B), (L)	II7ML	via	IQ7ML ((e))
HA5SPORT	via	HA-(B)	II9IALU	via	IT9MRM (d), (e)
HBØ/DJ1AA/m	via	DJ1AA (B), (e)	II9IAKE	via	HE9ERA (B)
HBØ/DL2JRM	via	DL2JRM (B)	II9IGDG	via	IT9DSA (d), (e)
HBØ/HB9DQM	via	HB9DQM (B), (L)	II9JOTA	via	IT9LIZ
HBØ/OE9HRV	via	OE9HRV (B)	IK1TNU/IA5	via	IK1TNU
HBØ/PA3CNO	via	PE1FLO	IK2LEY/ISØ	via	IK2LEY
HB175RAIL	via	(L)	I6/OT1V	via	ON8VM (B), (L), (e)
HB5ØSH	nur	(L) & (e)	IL7/IK5AEQ	via	IK5AEQ (B), (L), (e)
HB75SG/p	via	HB9KNY (B), (L)	IL7/IZ5IUY	via	IZ5IUY (auch (e))
HB9SPACE	via	HB9ACA	IM0A	via	IS0BSR ((L) only)
HC5JHT	via	(L)	IM0B		nur (L)
HD1HERO		nur (L)	IN3/DL7CX/p	via	DL7CX (B), (L)
HF0ROSA	via	SP7X (L), (e)	IN3/HB9BXQ	via	HB9BXQ (B)
HF1ØØL	via	SP9KDR (B)	IP1X	via	IU1JCZ (B)
HF1922PS	via	SP9KJU (B), (e)	IP6POPE	via	IZ6BRJ
HF1Z	via	SP1EG (B), (L)	IQØAK	via	ISØJXO (B), (e)
HF2ØLVK	via	SP4LVK (B), (e)	IQ1SV	via	IZ1JIZ
HF30STB	via	SP9SCI (B)	IQ3DD	via	IZ3NWT (Bureau)
HF3ØPSP	via	SP9PSJ (B)	IR1DCI/5	via	IK1GPG (B), (L)
HF77DIORA	via	SP3PDO (B)	IR1DCI/8	via	IK1GPG (B), (L)
HF800M	via	SP9PKS (B)	IR9K	via	(B), (L)
HF9FIELD	via	SN9PJ (nur (e))			

ISØ/DJ2TG/p	via	DJ2TG (L), (e)	M4T	via	M0BEW ((e) only)
J2ØEE	via	F4DXW (d), (L), (e)	MD7C	via	MØOXO (B-(O)), (L)
J28HJ		(L)	MM1E	via	(L) (kein Bureau)
J28JD	via	EA5GL (B), (L)	MN5A	via	G3TXF (B), (L)
J28MD	via	IK2VUC (B)	MSØORK	via	MM5DWW (d)
J3/N9GB	via	N9GB	MQØPAM	via	MØPAM (d), (L), (e)
J43POTA	via	SV3SPD (L), (e)	NØC	via	WØUY (d), (L)
J5GQA	via	CT2GQA (B), (e)	N1N	via	K6ZO (L)
JD1AJD	via	JA1ADT (B), (L)	NL8F	via	N7RO (d), (L)
JW/KA1IS	via	KA1IS (B)	OD5ZZ	via	N4GNR (d), (L)
JWØA	via	K4NHW (B), (L)	OE05FTDMC	via	OE1SGU (L), (e)
JW7QIA	via	LA7QIA (B), (L)	OE25MFCA	via	OE6XMF (B)
JW7XK	via	LA7XK (B), (L), (e)	OE0FTDMC	via	OE6VIE (B-(O)), (L)
JX/LB4MI	via	LB4MI (B), (L), (e)	OE0HQ	via	OE3KAB (L)
K4C/75	via	N4JR (B)	OE25TU	via	OE-Bureau
K4WK/VE3	via	K4WK	OE3DIA	via	OE1DIA (d), (e)
KH6/ND0B	via	ND0B (d), (L)	OE5D	via	OE2UKL (B), (e)
KH6ND/W7	via	KH6ND (L)	OE6ØSTMK	via	OE6WIG (B)
K5A	via	K5DB (d), (L)	OE7ØFI	via	OE5FSL (B)
K8H	via	W7YAQ (L)	OG7F	via	OH5AD (B), (L)
KC4AAC	via	K7MT (d), (L)	OH0CO	via	SM6CCO (d), (L)
KH7X/W7	via	KH7X (L), eQSL	OJ0DX	via	DL3DXX (B-(O)), (L)
KL7J	via	N3SL (B), (L)	OJ0JR	via	OH3JR (B), (L)
KP2/KB5RF	via	KB5RF (nur (L))	OJ0MR	via	OG2M (d)
KP2B	via	EB7DX (d), (L)	OK/SQ9MDF/p	via	SQ9MDF (B)
KP4/E77DX	via	E73Y (B), (L)	OK5D	via	OK1DTP (B), (L)
KP4/KCØBLK	via	KCØBLK (d), (L), eQSL	OK5M	via	OK5MM (B)
KT3Q	via	DF8DX (B), (L)	OK5Z	via	OK2ZI, (L)
L2ØD	via	LU3DXG (L), (e)	OK8CX/p	via	DL7CX (B), (L)
L50DY	via	LU8DY (L), (e)	OK8MA/p	via	SP9MA (B)
L60CBA	via	LU5CBA	OL1T	via	OK6DJ (B), (L), (e)
LA/PE1ITR	via	PE1ITR (B), (L)	OL15SOTA	via	OK1CYC (B), (L)
LA/SP7VC	via	SP7VC (d), (e)	OL3Y	via	OK1CRM (B), (L)
LA/ON4ROB/P	via	ON4ROB	OL5GMA/p	via	OK3EQ (B), (e)
LB5SH/p	via	LB5SH (B), (L)	OMØR	via	OM3GI (d), (L)
LC1R	via	LB5SH (B), (L)	ON/SP7THC	via	SP7THC (d)
LC5C	via	LA6KOA (B)	ON37IOF	via	ON7QC (B)
LP1A	via	EA7FTR (L)	OO22FLY	via	nur ON-Bureau
LV1E	via	LW6EQG (B), (L), (e)	OO36EUDXF	via	ON6CC (B), (L)
LW2DO	via	EC6DX (d)	OO7Z/p	via	ON6KZ (B), (e)
LX/PA3FQX	via	PA3FQX	OP4K	via	ON4JZ and (L)
LY770CT	via	LY1CT and (L)	OP9T	via	ON5CT, (L)
LY786A	via	LY5A (B)	OQ4U	via	ON4AMX (B), (L)
LZ/OP4L	via	ON4LDK (d), (B)	OQ5M	via	ON5ZO (L), (e)
LZ/SQ2M	via	SQ2M	ORØA	via	ON6ZK (B)
LZ0KP	via	SV2CLJ (d), (L)	OR1Ø5ØHERZ	via	ON-Bureau
LZ1Ø5IN	via	LZ1ZF (B)	OR1Z/p	via	ON6IX (d), (e)
LZ258ML	via	LZ1KCP (B), (L)	OR7ØFI	via	OR4K (B)
LZ2K	via	LZ4AE	OR7G/p	via	ON7VG (auch (e))
LZ25MIG	via	LZ1ZF (B)	OR78CLM	via	ON6HC (B)
LZ31ZE	via	LZ1KCP (B), (L)	OR8W	via	ON4BDV
LZ4A	via	LZ1YQ (d)	OS5Z	via	ON5CAZ (B)
LZ457PP	via	LZ1KCP (B), (L)	OT4N	via	ON4CN (B), (e)
LZ540DS	via	LZ1KCP (B), (L)	OT5IDPD	via	ON6WL (B), (L)
LZ5G	via	LZ5ET (B)	OT5Q	via	ON4KNP (B), (L)
LZ6E	via	LZ1GU (B)	OU5K	via	OZ1BEF (d)
LZ6T	via	LZ2JA	OV2T	via	PAØABM (B), (L)
M/LY4L	via	LY4L (L)	OV3T	via	OZ4XL (nur (L))
M2J	via	G4NBS (nur (L))	OV5W	via	OZ1GIN

OX7AM	via	OZ1ACB ((O)), (L)	RI41POL	via	RN3RQ (B)
OY7EE	via	OZ2I (B)	S21SM	via	OH6EAC (d) und (L)
OZ50DDXG	via	OZ1ACB (O), (L)	S50HQ	via	S54G (B), (L)
OZ5W	via	OZ7QC, (L)	S79/RM8A	via	RM8A (direct)
P29LL	via	EA7FTR (d)	SB6A	via	SA6AOA (nur (L))
P29RO	via	DL4SVA (B), (L)	SF6F	via	SA6FOL (nur (L))
P3AA	via	RW3RN (d), (B)	SI3A	via	SM3LIV (B), (L), (e)
P3X	via	UT5UDX (L), (e)	SK75BL	via	SK1BL (B, automatisch)
P4ØL	via	WA3FRP (B), (L)	SM/OH2NOS/p	via	OH2NOS
P44W	via	N2MM (d), (L)	SM2M	via	SM2LIY (B), (L), (e)
P4/DDØVR	via	DDØVR (B)	SN15ØBRAIL	via	SP2PBY (B)
PA/WB4BW	via	WB4BW	SN2ØØO	via	SP2PGD (B, automatisch)
PA1VS	via	DE7VSH (B), (L), (e)	SN2ØØW	via	SP2PGD (B, automatisch)
PA22VUELTA	via	PI4UTR	SN2M	via	SP2XF (d), (B), (L)
PA6ØCUBA	via	PA1FZH	SN500GM	via	SP5PMU (B)
PA6ØEHSB	via	PA5ABW (B)	SN5N	via	SP5KP (d), (L)
PA6ØNN	via	PC4C (B), (L)	SN6J	via	SP6FHU (B)
PA75DXCC	via	PA0ABM (O), (L)	SN89LOT	via	SP1PMY (B)
PA9ØØUTR	via	PI4UTR	SN8K	via	SQ8ERS (B), (L)
PC2ØSAIL	via	PAØRDY (B)	SN65PLU		(B)
PD36EUDXF	via	PA1AW (B), (L)	SN95PRK	via	SQ9FMU (B)
PE36EUDXF	via	PA1AW (B), (L)	SOØKBW	via	SP3PDO (B)
PF01MAX	via	PC2F and (L)	SO95PRK	via	SP9WZO
PF36EUDXF	via	PA1AW (B), (L)	SP65PLU		(B)
PF44F	via	(L) (kein Papier)	SP77DIORA	via	SP6PZB (B)
PF6SKCC	via	PG4I	SP9ØENG	via	SP3PDO (B)
PF6ØPENM	via	PF9W (B), (L)	SP95PRK	via	SP9PNB (B)
PGØØT	via	PA2TMS (B), (e)	SQ65PLU		(B)
PG6PEACE	via	PG5FRL, (L)	SQ75ZOT	via	SP1EG
PI4COM	via	PA1AW and (L)	SQ95PRK		(B)
PI4DX	via	PD1DX (d), (B), (L)	ST2SA	via	F6BFH (B), (*)
PI4NTC	via	PG4I	SU8X	via	OH2BH (B)
PI4RCA/p	via	PA4T (B)	SV9/SX338M	via	SX338M nur (L) & eQSL
PI75ØGAZ	via	PA-(B)	SX1ØØMRH	via	SZ2RWM (d), (e)
PJ2/DK5ON	via	DK5ON (d), (B), (L), (C)	SX14ASTRO	via	SZ1A (B), (L), (e)
PJ2/K5PI	via	K5PI	SX2IMA	via	SV2JAO (d), (e)
PJ2/VE3CX	via	VE3CX, (L)	SX22HAF	via	SV1AHH (nur L & (e))
PJ2/VE3JM	via	VE3JM	SX338M		nur (L), (e)
PJ2/W9NJY	via	WD9DZV, (L)	SX39J	via	SV2GWY (d), (L), (e)
PJ4/K4BAI	via	K4BAI	SX44JM	via	SV1AHH (L), (e)
PJ7/G4JEC	via	NØUK (B), (L)	SX8AEG	via	SV8MQP (B), (e)
PP2/DL3SEZ	via	DL3SEZ (B)	SZ1KVDD	via	SV1ENG (B), (L)
PQ3G	via	PY3OZ	T88PB	via	JAØJHQ (d), (L)
PR1T	via	PY1ZV (nur (L))	T88RC	via	JH1FFW (B), (L), (e)
PR2R	via	PY2ERA (d), (B), (L)	TA3J/0	via	TA3J (B), (L)
PT4Z	via	PY4JW (d)	TA4/OH2KW	via	OH2KW (B), (L)
PT5C	via	PY5HC (B), (L), (e)	TA4/SQ9UM	via	SQ9UM (d), (L), (e)
PT5J	via	PP5JR und (L)	TC29EKM	via	(e)
PT6B	via	PY6HD (d), (L)	TC7G	via	YM7KK (d), (L)
PV2ØØBR	via	PY2KP (B), (L), (e)	TG9ADM	via	EA5GL (B), (L)
PV2K	via	EA5GL (B), (L)	TI1FIFA	via	(d), (L)
PW2IND	via	PP5AA (B), (e)	TI2VLM	via	EA5ZD (d), (L)
PX2A	via	PY2VM (d), (L)	TI5/N3KS	via	M0URX (O) und (L)
R1941MB	via	R2DX (B), (L), (e)	TI7/HB9BHU	via	HB9BHU
R2022DX	via	RQ7L	TK/S53WW	via	S53WW, (L)
R245GC	via	RW1QN (B), (L), (e)	TK/S57L	via	S57L, (L)
R50RCR	via	RV3VR	TK/S57VW	via	S57VW
R8ØURAN	via	UA4AJD (B)			
R7ØØSSR	via	RØSI			

TK0C	via	S50C (d), (B), (L), (e)	V48A	via	WX4G (B), (L), (e)
TMØW	via	F2CT (L), (e)	V48DM	via	N4GNR (B), (L)
TM1MLB	via	F4KMI (B), ((e))	V5/HB9BFM	via	HB9BFM (B), (L)
TM1SOTA	via	nur (e)	V5/ZS1WO	via	DH3WO (B)
TM1ØKIY	via	F4KIY (B), (L), (e)	V51LZ	via	EA5GL (B), (L), (e)
TM109TDF	via	F8GGZ	V73MS	via	WV7MS (d), (L)
TM1ØØBBC	via	F8GGZ (B)	V85/F5NPV	via	F5NPV (L), (e)
TM1ØØCARD	via	F5PTI (B), (L), (e)	V85NPV	via	nur (e) & (L)
TM100UNOR	via	F8KHG (B)	VB4LIGMA	via	A4BEN
TM1Ø5BDC	via	F8KGN (B)	VE2PEACE	via	VE2JCW (d)
TM11SRY	via	F5KCC	VE3KTB/VY0	via	M0OXO (B-(O)), (L)
TM13COL	via	F5OGL (L)	VG5DX	via	VA5DX (d)
TM17FFF	via	F4GFE	VJ2J	via	VK2CZ (d)
TM17MGF	via	F5KLJ (B)	VJ3A	via	VK3JA and (L)
TM1SSOU	via	F6KGL	VJ4K	via	N3SL (B), (L), (e)
TM2ØØLP	via	F8GGZ (B)	VJ4T	via	VK4QH (L), (e)
TM22CAD	via	F1LPT ((e) only)	VL2B	via	VK2BJ ((L) only)
TM2ALMA	via	F5PTA (d), (e)	VL2G	via	VK2GR ((L) only)
TM2D	via	F5KHP (e)	VL2N	via	VK2PN ((L))
TM2LD	via	F4GQP (B)	VL3E	via	VK3TZ and (L)
TM34SCRIP	via	F5JBU (d), (B)	VL6C	via	VK6IR (O) und (L)
TM35FIST	via	F6JOE (d), (B)	VP2ETE	via	W3HNC, (L)
TM36EUDX	via	PA1AW (B), (L)	VP2MJA	via	VE3WB
TM3GGR	via	F6KUF (B); F5OEV (d)	VP8TAA/p	via	MØOXO (B- (O)), (L)
TM3Z	via	F4DSK (B)	VP9/N8QNT	via	N8QNT (B)
TM400MO	via	F4DTO (B)	VP9/SP9FIH	via	SP9FIH
TM5ØARML	via	F4ILK (B), (e)	VKØWN	via	VK7WN (B), (L)
TM50SC	via	F6PCT	VK36EUDXF	via	VK2WN, (L), (e)
TM50VAR	via	F4GPB (d), (B)	VK5X	via	VK5XDX ((L))
TM55TDL	via	F4IVC (d), (e)	VK6T	via	EA7FTR (d), (L)
TM5TD	via	F6KMB	VK75FAA	via	VK2YVA (B)
TM55SNSM	via	F4GPB (B), (e)	VK8NSB	via	M0URX (O) und (L)
TM59TDF	via	F8KGS	VK9C	via	EB7DX (d), (L), (e)
TM62YT	via	F4GYG (e)	VK9CM	via	EB7DX (d), (L), (e)
TM65M	via	F5RAB	VK9XX	via	EB7DX (d), (L)
TM72LMC	via	F1IEH (L)	VK90ABC	via	VK1RAS (L), (e) only
TM72WOW	via	F1IEH (d)	VX2I	via	F5JYD (B), (d), (L)
TM74CHX	via	F4IRT (B), (L), (e)	VR25RC	via	VR2RC
TM78DP	via	F4GPB (B), (e)	VR25XMT	via	VR2XMT (d), (L)
TM8AB	via	F4KJQ	VP2ETE	via	W3HNC (d), (L)
TM8GE	via	F6KFI (B)	VP2MJA	via	VE3WB (L), (e)
TM8R	via	F5BNJ (B), (L)	VP5Y	via	VE3RZ
TM90GF	via	F4KLR (B), (e)	VP8TAA	via	M0OXO (O), (L)
TM100UNOR	via	REF-Bureau	WØ /VK3BDL	via	VK3BDL
TO2DL	via	DL7DF ((O)), (L)	W1N	via	K6ZO (L)
TO5A	via	F5VHJ (B), (L)	W2/JR1AQN	via	JR1AQN (B), (L), (e)
TO9W	via	W9ILY (O), (L)	W2C	via	N2MC (d)
TT8SN	via	F8FQX	W2I	via	W2TMR (d), (L), (e)
TX7G	via	F6BCW (B, automatisch)	W3R	via	NY9H
TY0RU	via	R7AL ((O)), (L)	W4G	via	K4DSO (d), (L)
TY5AF	via	(B – (O)), (L)	W4T	via	W4ABP (d)
TZ4AM	via	W0SA (B), (L)	W7/KH7X	via	KH7X (d), (B)
UE32DX	via	RQ7L	W8W	via	W8KVK (d), (e)
UR5FSP/mm	via	UR5FSP (d), (L)	XE1HG	via	EA5GL (d), (L)
V26K	via	AA3B (B), (L), (e)	XF1S	via	IT9EJW (B)
V26OC	via	N3OC (d), (L)	XIØX	via	XE1KK (nur (L))
V31XX	via	K4XS (d)	XM3A	via	VE3NOO (B), (e)
V4/NT5V	via	NT5V (B), (L)	XT2AW	via	M0OXO (O) und (L)
V47FWX	via	MØURX (B-(O)), (L)	XV9BPO	via	EA5GL und (L)

XV9SB via WB4SAB (d)
 XV9K via DJ6TF (B), (L)
 XW4KV via F4BKV (B), (L)
 XZ2B via JH3SIF (B), (L)
 YB0AR via EB7DX (d) und (L)
 YBØECT via W2FB (d), (L)
 YB8QT via IK2DUW (d), (L)
 YH0R (B), (L), (e)
 YJØAUS via F6BFH (B), (*)
 YJØCA via VK2YUS (d)
 YJØDA via VK4MAP (d)
 YK1AA via F6BFH (B), (*)
 YO3IMD via YO3KPA (B), (L)
 YR1400VT via YO6KGS (e)
 YR2X via YO2LEA (B), (e)
 YS1RR via F6BFH (B), (*)
 YR6MUSEUM via YO6KNE (B), (L)
 YU/OK1ARI/p via OK1ARI (auch (e))
 Z21LS via DE1ZHB (B), 7Z1HB (d)
 Z66BCC via DL2JRM (B)
 Z68EE via OZ2I (B), (L)
 Z66X via OH2BH (B), (L)
 Z68XX via DL2JRM (B)
 ZA/OE6TQG via OE6TQG and (e)
 ZA/OE8NDR via DE1QSL
 ZA/SQ9MDF/p via SQ9MDF (B)
 ZF1A via K7ZO ((O)), (L), (d), (B)
 ZF2AA via VE3IKV (d)
 ZF2OO via WB2REM (d), (L)
 ZF2PG via K8PGJ (d), (L)
 ZF2MJ via N6MJ and (L)
 ZL1X via ZL1BVA (e)
 ZL4/VE6TC via VE6TC (L), (e)
 ZL7/K5WE via K5WE (d), (L)
 ZL7/ZL1VV (L)
 ZV2X via PY2YVN
 ZV8C via PQ8SL (d), (L)
 ZW2ØØESQ via PY1JR (B)
 ZW2A via PY2SGL (d), (B), (L)
 ZW7I via PY7WM (B), (L)
 ZX8F via PS8RV (B), (L)
 ZY0FUN via PY2RN ((O)), (L)
 ZZ1S via PY1IO (d), (LO)
 ZZ2OO via (B), (L)
 ZZ4A via PX4DX (d), (L)

(d) = direkt (B) = Büro ok
 (L) = (L) (O) = (O)
 (C) = ClubLog (e) = (e)
 (*) = neuer Manager (Q) = QRZ.COM
 H/c = Homecall

*** Aufgrund der anhaltenden und sich ständig ändernden Situation von COVID-19 auf der ganzen Welt, können die angekündigten Aktivitäten ohne vorherige Ankündigung verkürzt, verschoben oder **sogar abgesagt werden.** ***

Abkürzungen:

ARLHS	Amateur Radio Lighthouse Society
DCI	D.C.I. (Diploma Castelli Italia) http://www.dcia.it/dci/
DCPC	D.C.P.C. (Diploma Castelli Provincia Cuneo)
DFCF	Diplome des Forts et Chateaux de France
DIFM	Diplôme des Iles de la France Métropolitaine
H/c	Homecall
ILLW	International Lighthouse Lightship Weekend
IOCA	Islands Of Croatia Award
IOTA	Islands on the Air
(L)	Logbook of the World
(O)	Online QSL Request System
POTA	Parks On The Air
RDA	Russian District's Award Program
RLHA	Russian Lighthouse Award
SNSM	Société Nationale des Sauveteurs en Mer
URE	Unión de Radioaficionados Españoles
WCA	World Castles Award
WLOTA	World Lighthouse On The Air Award
WRTC	World Radiosport Team Championship
WWFF	World Wide Flora & Fauna
YOTA	Youth On The Air

Wir bedanken uns für die Mitarbeit an dieser Ausgabe bei: I1JQJ/IK1ADH & 425 DX News, DX World, DXNews.com, VA3RJ, KB8NW & OPDX-Bulletin, DF6EX (für WIN-QSL), DL1BAH, DL1SBF, DL3FF, DL7MAE, EA3HKY, UA1OBA, F6AJA & Les Nouvelles DX, Islands On The Air, NG3K & ADXO, OE2IKN, OM3JW & IDXP, OZ6OM & 50 MHz DX News, W3UR & The Daily DX ...u.a.

Kostenloses Abo DXMB / DXNL:

DXMB Abonnement / DXNL Subscription

<https://www.darc.dxf.de/dxmb/>

PDF-Version in Deutsch (farbig, mit Bildern):

<https://www.darc.de/der-club/referate/dx/dxmb/>

TXT-Version deutsch (nur Text, ohne Bilder):

<https://www.darc.de/der-club/referate/dx/dxmb/>

TXT-Version englisch (nur Text, ohne Bilder):

<https://www.darc.de/der-club/referate/dx/en/dxn/>

Archiv:

<https://www.darc.de/der-club/referate/dx/dxmb/>

DXMB-Homepage:

<https://www.darc.de/der-club/referate/dx/dxmb/>